

Раздел I. ТЕХНОЛОГИЯ ХОЛОДНОЙ ОБРАБОТКИ ДАВЛЕНИЕМ

Ю. М. Арышенский, В. В. Уваров, И. И. Калужский

РАСЧЕТ ПРУЖИНЕНИЯ ПРИ ОБТЯЖКЕ С РАСТЯЖЕНИЕМ

Анализ упругой отдачи при обтяжке с растяжением проводим на основе теоремы о разгрузке А. А. Ильющина [1].

Помимо общепринятых допущений технической теории оболочек [1], [2], считаем, что обшивка в продольном направлении имеет радиус R_1 , а в поперечном — R_2 ; из-за незначительной кривизны и малой толщины изделия радиус нейтральной поверхности примерно равен радиусу средней поверхности.

Рассмотрим схему разгрузки (рис. 1).

Остаточная упругая деформация определится из следующей алгебраической суммы:

$$\varepsilon'_{1ост} = \varepsilon'_{1ф} + \varepsilon^0_{1раз}$$

$$\varepsilon'_{2ост} = \varepsilon'_{2ф} + \varepsilon^0_{2раз}$$

Используя гипотезу нормали и закон Гука для ортотропного тела, получим

$$\varepsilon'_{1ост} = \varepsilon'_1 + \nu_1 Y - \left(\frac{\sigma_{111}}{E_1} - \nu_2 \frac{\sigma_{211}}{E_2} \right),$$

$$\varepsilon'_{2ост} = \varepsilon'_2 + \nu_2 Y - \left(\frac{\sigma_{211}}{E_2} - \nu_1 \frac{\sigma_{111}}{E_1} \right),$$

где E_1 и E_2 — модули упругости соответствующих направлений;

$\nu_1 = \nu_{21}$ и $\nu_2 = \nu_{12}$ — коэффициенты Пуассона;

χ_1 и χ_2 — изменение кривизны вследствие разгрузки;

ε'_1 и ε'_2 — упругие деформации средней поверхности;

Y — расстояние рассматриваемого волокна от среднего.

Остаточные упругие напряжения вычисляются также по закону Гука. Используя уравнения (1), найдем:

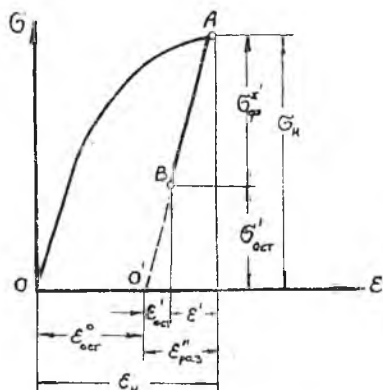


Рис. 1. Схема разгрузки

$$\sigma'_{\text{locст}} = \frac{E_1}{1 - \nu_1 \nu_2} [(\varepsilon'_1 \nu_2 \varepsilon'_2) + (z_1 + \nu_2 z_2) Y] - \sigma_{1н},$$

$$\sigma'_{2\text{ост}} = \frac{E_2}{1 - \nu_1 \nu_2} [(\varepsilon'_2 + \nu_1 \varepsilon'_1) + (z_2 + \nu_1 z_1) Y] - \sigma_{2н}. \quad (2)$$

Отсюда определим величину изгибающих моментов:

$$M'_{\text{locст}} = \frac{E_1 S^3 b}{12 (1 - \nu_1 \nu_2)} (z_1 + \nu_2 z_2) - M_{1н},$$

$$M'_{2\text{ост}} = \frac{E_2 S^3 b}{12 (1 - \nu_1 \nu_2)} (z_2 + \nu_1 z_1) - M_{2н}. \quad (3)$$

При развитых пластических деформациях схема напряженного состояния срединной поверхности оболочки близка к линейной, поэтому примем, что $\varepsilon_2 = -\mu_{21} \varepsilon_1$. Здесь $\varepsilon_{1и}$ и $\varepsilon_{2н}$ — пластические деформации срединного слоя; μ_{21} — коэффициент поперечной деформации (первый индекс показывает направление сжатия образца, а второй — направление действия линейного растяжения).

Используя гипотезу Кирхгофа-Лява [2] и уравнения связи между напряжениями и деформациями в случае плоского напряженного состояния, когда металл ортотропен [3], получим:

$$\sigma_{1н} = \frac{E_1'}{1 - \mu_{12} \mu_{21}} \left[(1 - \mu_{12} \mu_{21}) \varepsilon_1 + Y \left(\frac{1}{R_1} + \frac{\mu_{12}}{R_2} \right) \right];$$

$$\sigma_{2н} = \frac{E_2'}{1 - \mu_{12} \mu_{21}} Y \left(\frac{1}{R_2} + \frac{\mu_{21}}{R_1} \right), \quad (4)$$

где E_1' и E_2' — модули пластичности указанных направлений.

Применив выражение (4), вычислим величину моментов, возникающих при нагрузке:

$$M_{1н} = K_1 \varepsilon_1^{n-1} \left(\frac{1}{R_1} + \frac{\mu_{12}}{R_2} \right) \frac{1}{1 - \mu_{12} \mu_{21}} \frac{b S^3}{12};$$

$$M_{2н} = K_1 \varepsilon_1^{n-1} \left(\frac{1}{R_2} + \frac{\mu_{21}}{R_1} \right) \frac{\mu_{12}}{\mu_{21}} \frac{1}{1 - \mu_{12} \mu_{21}} \frac{b S^3}{12}. \quad (5)$$

При выводе был использован степенной закон упрочнения

$$\sigma_{iл} = K_1 \varepsilon_{iл}^n.$$

Подставляя уравнения (5) в соотношения (3), получаем следующее выражение остаточных моментов:

$$M'_{\text{locст}} = \frac{b S^3}{12} \left[\frac{E_1}{1 - \nu_1 \nu_2} (z_1 + \nu_2 z_2) - \frac{E_1'}{1 - \mu_{12} \mu_{21}} \left(\frac{1}{R_1} + \frac{\mu_{12}}{R_2} \right) \right];$$

$$M'_{\text{ост}} = \frac{b S^3}{12} \left[\frac{E_2}{1 - \nu_1 \nu_2} (z_2 + \nu_1 z_1) - \frac{E_2'}{1 - \mu_{12} \mu_{21}} \left(\frac{1}{R_2} + \frac{\mu_{21}}{R_1} \right) \right]. \quad (6)$$

Изменения кривизны z_1 и z_2 вычислены из условия равенства нулю остаточных моментов. При этом их величина будет несколько завышена. Тогда

$$z_1 = \frac{E_1'}{E_1} \left[\frac{1}{R_1} (1 - \mu_{12} \nu_1) + \frac{\mu_{12}}{R_2} (1 - \frac{\nu_1}{\mu_{21}}) \right] \frac{1}{1 - \mu_{12} \mu_{21}};$$

$$z_2 = \frac{E_2'}{E_2} \left[\frac{1}{R_2} (1 - \mu_{21} \nu_2) + \frac{\mu_{21}}{R_1} (1 - \frac{\nu_2}{\mu_{12}}) \right] \frac{1}{1 - \mu_{12} \mu_{21}}. \quad (7)$$

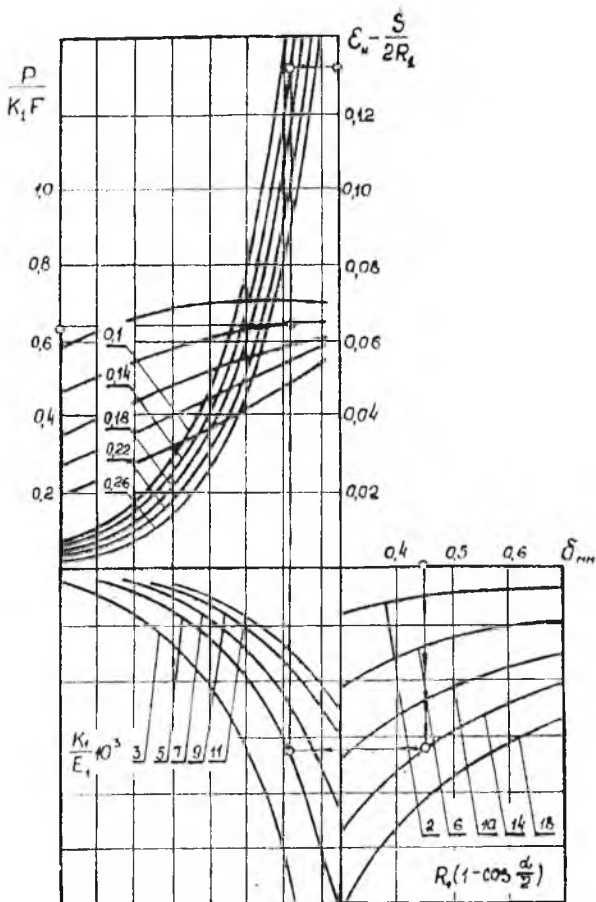


Рис. 2. Номограмма для расчета пружинения

Используя формулы и экспериментальные данные, приведенные в работе [4], можно показать, что $\nu_1 \approx \mu_{21}$, а $\nu_2 \approx \mu_{12}$. Тогда уравнения (7) упрощаются

$$\begin{aligned} z_1 &= \frac{E_1'}{E_1} \cdot \frac{1}{R_1}; \\ z_2 &= \frac{E_2'}{E_2} \cdot \frac{1}{R_2}, \end{aligned} \quad (8)$$

или

$$\begin{aligned} \frac{1}{R_{1\text{ост}}} &= \left(1 - \frac{E_1'}{E_1}\right) \frac{1}{R_1}; \\ \frac{1}{R_{2\text{ост}}} &= \left(1 - \frac{E_2'}{E_2}\right) \frac{1}{R_2}. \end{aligned} \quad (8a)$$

$$\frac{P}{K_{1f}} = \left(\frac{K_1}{E_1} \right)^{\frac{1}{1-n}} \left[1 + \frac{R_1}{\epsilon_1} \left(1 - \cos \frac{\alpha}{2} \right)^{\frac{1}{1-n}} \right] \left\{ 1 - \left(\frac{K_1}{E_1} \right)^{\frac{1}{1-n}} \times \right. \\ \left. \times \left[1 + \frac{R_1}{\epsilon_1} \left(1 - \cos \frac{\alpha}{2} \right)^{\frac{1}{1-n}} \right] \right\}, \quad (11)$$

где f — площадь поперечного сечения обшивки.

В целях уменьшения объема технологических расчетов формулы (10) и (11) представим в виде номограммы (рис. 2). В общем же случае для определения P и ϵ_n можно применить вычисления на ЭВЦМ.

В статье представлена программа расчета уравнений (10) — F_1 и (11) — F_2 , написанная на алгоритмическом языке АЛГОЛ-60 для ЭВЦМ «БЭСМ-4» (транслятор ТА—1М).

ЛИТЕРАТУРА

1. Пляюшин А. А. Пластичность. М., Гостехиздат, 1948.
2. Власов В. З. Общая теория оболочек и ее применение в технике. М., Гостехиздат, 1949.
3. Арышенский Ю. М., Калужский Н. И., Уваров В. В. Некоторые вопросы теории пластичности ортотропных сред. Известия вузов «Авиационная техника» № 2, 1969.
4. Падан А. Пластичность и разрушение твердых тел, т. 2. М., «Мир», 1969.

В. В. Уваров, Ю. М. Арышенский, В. И. Мордасов

О НАПРЯЖЕНИЯХ И ДЕФОРМАЦИЯХ ПРИ ПЛАСТИЧЕСКОМ ФОРМОИЗМЕНЕНИИ АНИЗОТРОПНЫХ ТОНКОСТЕННЫХ ТРУБ В КОНИЧЕСКИХ МАТРИЦАХ

В производстве деталей летательных аппаратов широкое применение находят процессы деформирования, связанные с обжимом, раздачей, волочением тонкостенных трубных заготовок. Последние, как правило, обладают резко выраженной анизотропией свойств. Анизотропия материала, как и другие параметры процесса, оказывает заметное влияние на величину и характер возникающих напряжений и деформаций. Этот факт нашел отражение в некоторых опубликованных работах [1], [2], [3]. Однако, несмотря на принципиальную возможность учета анизотропии, все же имеется ряд вопросов, требующих дальнейшего исследования в направлении обобщения методики решения и нахождения приемов получения конечных зависимостей для неупрочняемых и упрочняемых металлов.

Положим в основу анализа процесса формоизменения тонкостенной трубной заготовки метод совместного решения уравне-